

(14)

## 分水嶺付近における遷移流について

大阪大學

室田 明

§1. 概説： 分水嶺からの流出が無い場合の断面平均水深の変化は Fig-2 の如くであり、断面 E に於て顯著な水位の低下が見られる。更に、分水嶺付近の 2 つに分かれて見れば、流速最大点は E 点で、流速最小は F 点である。従つて、主流風速限界以下 ( $F_c < 1$ ) ではつとも局部 Froude 数  $f_r$  が E の付近で 1 とされることがありうる。(Fig-1) 実験、及び次節でのべる計算によると、E で  $f_r = 1$  とすら如き断面 E での Froude 数(以下臨界値  $F_c$  とすら)は、E とえば、分岐後の主、分水嶺間に生じる水深が零流速水深である場合に現れるから実在する水路の大部分は臨界状態に近いといえる。

§2. 臨界 Froude 数：  $F_c$   $F_c$  を求めためには断面 E における y 方向の水深、及び流速分布を知る必要がある。

今、断面平均値は大文字、局部値を小文字で表すものとして、

$$\text{連続方程式: } \frac{\partial}{\partial x}(uh) + \frac{\partial}{\partial y}(vh) = 0 \quad (1)$$

$$\text{運動方程式: } \left\{ \begin{array}{l} u \frac{\partial u}{\partial x} + v \frac{\partial u}{\partial y} = g(h - \frac{\partial h}{\partial x}) \\ u \frac{\partial v}{\partial x} + v \frac{\partial v}{\partial y} = -g \frac{\partial h}{\partial y} \end{array} \right. \quad (2)$$

$$\text{運動方程式: } \left\{ \begin{array}{l} u \frac{\partial u}{\partial x} + v \frac{\partial u}{\partial y} = g(h - \frac{\partial h}{\partial x}) \\ u \frac{\partial v}{\partial x} + v \frac{\partial v}{\partial y} = -g \frac{\partial h}{\partial y} \end{array} \right. \quad (3)$$

$u \equiv \frac{\partial \Phi}{\partial x}, v \equiv \frac{\partial \Phi}{\partial y}$  とし (1), (2), (3) から  $h$  を消去す

$$(1 - \frac{u^2}{gh}) \frac{\partial^2 \Phi}{\partial x^2} - 2 \frac{uv}{gh} \frac{\partial^2 \Phi}{\partial x \partial y} + (1 - \frac{v^2}{gh}) \frac{\partial^2 \Phi}{\partial y^2} = 0 \quad (4)$$

臨界状態以下では上式は椭円型であるから、この場合に対応する境界値問題を解けば E 断面での流量分配不足する。今、オーダー近似とし、非圧縮流に対する解、すなはち  $h = H_0$  : 一定、  $f_r \rightarrow 0$  とし Laplace Eq. E と E 断面での  $\Phi (= \sqrt{u^2 + v^2})$  一分配を極め、断面右奥の水深  $h$  は、Specific energy が横断方向に一定、すなはち

$$\frac{U^2}{2g} + h = \frac{U_E^2}{2g} + H_E \quad (5)$$

より定まる  $h$  をオーダー近似とする。

赤報で述べた通り branch を持つ水路の定像計算は複雑であり、又 E 点での特異性をさけるため開口部 EF

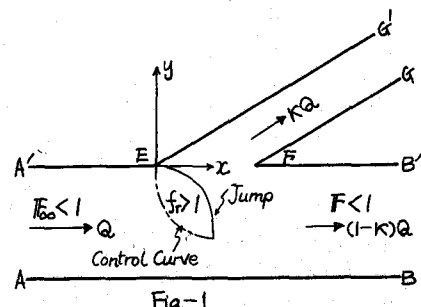


Fig.-1

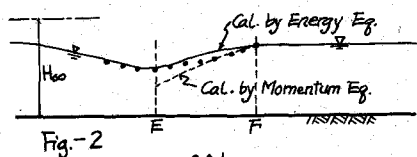


Fig.-2

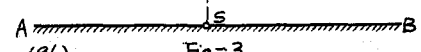
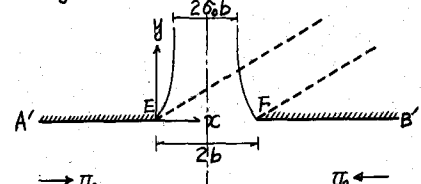


Fig.-3

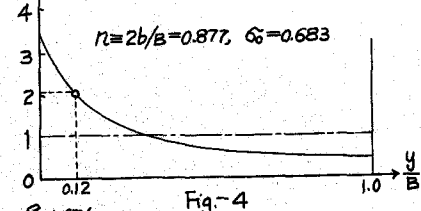


Fig.-4

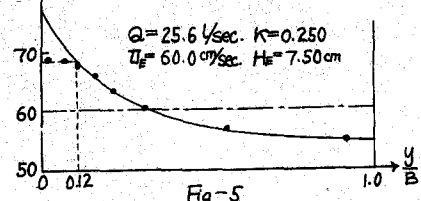


Fig.-5

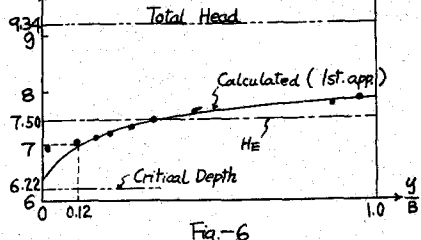


Fig.-6

からの自由流出 (Fig.-3) に  $\bar{U} - U_0$  の平均流と重ね合せて Fig.-1 エの主水路外流速分布を求めると、断面 E での  $g$ -分布は Fig.-4 の如くなる。以上の計算過程によつてこのオーパー近似を取めると Fig.-6 の様になり、水面勾配が小さい部分では十分実験値と一致する。更に、実験によると、 $x=0, 0 < y/B \leq 0.12$  の領域では  $u, h$  はほぼ一定と見らるるが、この領域で  $\alpha \equiv (g/U)_0 \cong (U/\bar{U})_0 = 2$  (ただし添字 0 は自由流出の諸量を示す。) とすれば断面 E の十分近傍で  $u \cong \bar{U}(1 + \frac{k}{2})$ 、更に、Fig.-3 で  $k = 2\bar{U}_0/\bar{U}$  であるから之等式 (5) に代入すれば結局、断面 E で  $f_r = 1$  となる如き断面 E での臨界 Froude 数:  $\bar{f}_{rc}(\leq 1)$  は次の如く求まる。

$$\bar{f}_{rc}^2 = 2 / \left\{ 3 \left( 1 + \frac{k}{2} \right)^2 - 1 \right\} \quad (6)$$

$k = 1$  すなわち總流量 Q が分水路に流入するときの  $\bar{f}_{rc}^2 = 0.348$  である。

§3. Control-Curve 及び Jump 波型の計算： 式(4)の形式判別式は、

$$D = f_r^2 - 1, \quad f_r^2 = g^2/gh, \quad g^2 = u^2 + v^2 \quad (7)$$

であり、 $f_r > 1$  のとき双曲線型、 $f_r < 1$  のとき椭円型となるから遷移領域では(4)は混合型となることが予想される。前述の如く、断面平均値はすべて臨界状態に近いので、限界流速:  $g_{rc}$  からの擾乱をとるものとし、

$$\bar{u} \equiv g_{rc}x + \varphi(x, y) \quad (\varphi \ll \bar{u}), \quad u = g_{rc} + \varphi_x, \quad v = \varphi_y \quad (8)$$

$\varphi$  を一次の微少量とし、高次の微少量を省略する。

$$u^2/gh \cong 1 + \frac{3\varphi_x}{g_{rc}}, \quad uv/gh \cong \varphi_y/g_{rc}, \quad v^2/gh \cong (\varphi_y/g_{rc})^2$$

であるから、之等式 (4) に代入し、更に、この場合  $\varphi_x \gg \varphi_y$  と考えられるので、結局、遷移流の基礎式として次式をうる。

$$\frac{\partial^2 \varphi}{\partial y^2} = \frac{3}{g_{rc}} \frac{\partial \varphi}{\partial x} \cdot \frac{\partial^2 \varphi}{\partial x^2}, \text{ 又は } u' = \frac{\partial \varphi}{\partial x}, \quad v' = \frac{\partial \varphi}{\partial y} \text{ とし } \frac{3}{g_{rc}} u' \frac{\partial u'}{\partial x} - \frac{\partial v'}{\partial y} = 0 \quad (9)$$

式(9)は非線型であるが、reducible であるから物理面  $(x, y)$  を座標平面  $(u', v')$  に変換する hodograph 法によつて線型化する。

但し、上式で  $u' > 0$  すなわち  $u > g_{rc}$  (駆流) のとき (9) は双曲線型。

$u' < 0$  すなわち  $u < g_{rc}$  (常流) のとき (9) は椭円型

となり、TRICOMI 型の混合型偏微分方程式である。

今  $\bar{u} \equiv 3u'/g_{rc}$ ,  $\bar{v} \equiv 3v'/g_{rc}$  すなわち次元量を用ひ、 $(x, y) \rightarrow (\bar{u}, \bar{v})$  変換、すなわち

$$\frac{\partial x}{\partial \bar{u}} = \frac{1}{J} \frac{\partial \bar{v}}{\partial y}, \quad \frac{\partial y}{\partial \bar{u}} = -\frac{1}{J} \frac{\partial \bar{v}}{\partial x}, \quad \text{及} \quad \frac{\partial x}{\partial \bar{v}} = -\frac{1}{J} \frac{\partial \bar{u}}{\partial y}, \quad \frac{\partial y}{\partial \bar{v}} = \frac{1}{J} \frac{\partial \bar{u}}{\partial x} \quad (J = \frac{\partial(\bar{u}, \bar{v})}{\partial(x, y)}) \quad (10)$$

とし、更に  $\bar{u} = -\bar{v}$  とすれば遷移流本ドグラフ方程式として線型化され次式を得る。

$$\bar{v} \frac{\partial^2 \bar{y}}{\partial \bar{u}^2} + \frac{\partial^2 \bar{y}}{\partial \bar{v}^2} = 0 \quad (11)$$

上式は  $\bar{w}$  の正負に対する 2 つの双曲型、椭円型となり、混合型の特徴をよく保持している。

(11) の素解は  $y \sim e^{\pm i \lambda \bar{v}} z^{\frac{1}{2}} C_{13}(\lambda z)$ ,  $z \equiv \frac{3}{2} \bar{w}^{\frac{2}{3}}$  ( $C_{13}$  は 1 次の円周函数)

であるから対応する境界條件によつて  $f_r = 1$  の Control-Curve を決定する。